

·病例报告 Case report·

支架纵向变形与急性心肌梗死 1 例

胡司淦，李辉，陈耀，高大胜

【关键词】 支架纵向变形；血管内超声；心肌梗死；并发症；支架内血栓形成

中图分类号：R541 文献标志码：D 文章编号：1008-794X(2022)-12-1236-03

Longitudinal deformation of stent associated with acute myocardial infarction: report of one case HU*Sigan, LI Hui, CHEN Yao, GAO Dasheng. Department of Cardiovascology, First Affiliated Hospital of Bengbu Medical College, Bengbu, Anhui Province 233004, China**Corresponding author: GAO Dasheng, E-mail: gaodasheng612@163.com (J Intervent Radiol, 2022, 31: 1236-1238)***[Key words]** longitudinal stent deformation; intravascular ultrasound; myocardial infarction; complication; in-stent thrombosis

支架纵向变形(longitudinal stent deformation,LSD)是与冠状动脉介入治疗相关的少见并发症,目前对其产生机制及临床预后仍不清楚。有研究显示LSD可能与冠状动脉血栓事件和支架内再狭窄有一定关系^[1]。国内鲜见相关病例报道。本文报道1例2次心肌梗死患者,总结分析LSD产生的可能机制及干预策略,为临床处理提供思考。

1 临床资料

患者男,73岁,因“突发胸闷伴晕厥5 h”于2018年7月25日入院。入院体检:脉搏51次/min,血压97/52 mmHg(1 mmHg=0.133 kPa),神志清楚,口唇无发绀,颈静脉无充盈,肝-颈静脉反流征阴性,双肺呼吸音清;心界正常,心率51次/min,律不齐,各瓣膜区未闻及病理性杂音;心电图提示Ⅱ、Ⅲ、AVF、V7~9、V3R~5R导联ST段呈弓背形抬高,高度房室传导阻滞;肌酸激酶同工酶(creatine kinase,CK)-MB 36 U/L,心肌肌钙蛋白(cardiac troponin,cTnI)0.24 μg/L。诊断为急性下壁、右心室、正后壁ST段抬高型心肌梗死,高度房室传导阻滞。急诊行临时起搏器安置术,冠状动脉造影显示左主干尾部可见斑块形成,前降支近中段50%狭窄,第一对角支开口90%狭窄,回旋支可见散在斑块,右冠状动脉近段以下完全闭塞(图1①)。对右冠状动脉行介入术,植入3.5 mm×36 mm雷帕霉素涂层支架(山东吉威医疗制品公司),但支架膨胀不良,遂以3.5 mm×9 mm非顺应性球囊行后扩张,而球囊通过困难,接着用双导丝技术通过了球囊并

以18标准大气压后扩支架内,出现无复流,予以硝普钠、替罗非班后,心肌梗死溶栓试验(TIMI)血流分级为Ⅲ级,支架膨胀贴壁良好(图1②③)。出院后给予阿司匹林、替格瑞洛双联抗血小板及调脂、改善重构等药物治疗,1年后停用替格瑞洛,继续阿司匹林单抗治疗。随访时未出现胸闷、胸痛症状发作。

患者于2020年5月16日因“突发胸痛15 h”再次入院,心电图提示Ⅱ、Ⅲ、AVF导联ST段弓背形抬高伴病理性Q波,诊断为急性下壁ST段抬高型心肌梗死;因发病时间超过再灌注时间窗,未予急诊冠状动脉造影检查;CK-MB 239 U/L,cTnI 21.17 μg/L,给予抗凝、双联抗血小板、抗心肌缺血治疗9 d后,冠状动脉造影发现右冠状动脉原支架中段局部85%狭窄(图2①),且见狭窄处支架钢梁形态不规则、皱缩(图2②),左冠状动脉病变程度较前无明显变化,血管内超声(IVUS)检查发现狭窄处支架金属丝变形、重叠、皱缩伴少量血栓影,部分金属钢梁突入管腔内,支架贴壁不良,部分区域无金属丝覆盖(图2③),诊断为LSD;予以耐高压球囊扩张狭窄处,植入3.5 mm×13 mm Firebird 2支架(上海微创医疗公司)1枚,IVUS检查提示突出于管腔的支架骨架充分贴于血管壁。术后随访1年,患者未再出现胸闷、晕厥等临床症状。

2 讨论

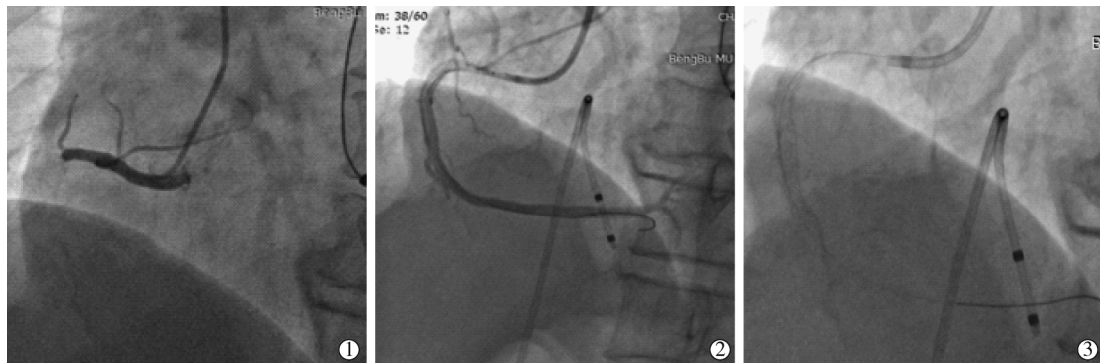
LSD指支架成功植入后期因受到纵轴方向外力导致的形态改变,是冠状动脉介入治疗后少见但严重的并发症之

DOI:10.3969/j.issn.1008-794X.2022.12.023

基金项目:安徽省教育厅高校自然科学研究重点项目(KJ2021A0818),蚌埠医学院科技发展基金(BYKF1889)

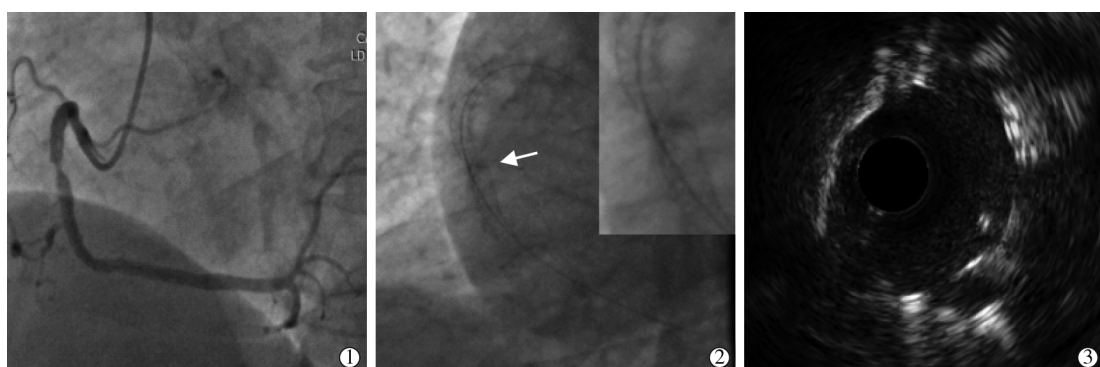
作者单位:233004 安徽蚌埠 蚌埠医学院第一附属医院心血管科

通信作者:高大胜 E-mail:gaodasheng612@163.com



①术中 DSA 造影示右冠状动脉近中段以下完全闭塞;②临时起搏器保护下植入 3.5 mm×36 mm 雷帕霉素涂层支架;③支架膨胀贴壁良好

图 1 初次手术过程影像



①术中 DSA 造影示支架内狭窄 85%;②狭窄处支架中段钢梁变形、皱缩;③IVUS 检查示狭窄处支架金属钢梁变形,部分钢梁突出在管腔中,部分钢梁堆积重叠伴血栓影

图 2 二次 DSA 造影和病变处 IVUS 检查结果

一。Hanratty 等^[2]2011 年最先报道二代药物洗脱支架植入术后出现 LSD 并发症,引起临床关注。LSD 发生率低,目前尚缺乏权威统计数据。Rhee 等^[3]在一多项多中心队列研究中汇总分析 5 871 例药物洗脱支架治疗患者的 7 350 个病灶情况,发现当代支架平台开发的药物洗脱支架植入后 LSD 并不常见,根据定量冠状动脉造影分析(QCA),其发生率为 1.12%,主要涉及左主干病变、开口病变、分叉病变、长病变,与手术操作程序有一定关系,但不同的药物洗脱支架平台间发生率差异无统计学意义。另一研究报道 5 例 Promus Element 药物洗脱支架系统植入术后 15 个月内发生纵向缩短,提出该支架系统使用较薄的金属连接,可能会降低纵向强度,更易出现 LSD^[4]。Williams 等^[5]回顾性分析也发现发生 LSD 患者中 Promus Element 平台系统占比较多。本例患者 LSD 出现在首次支架植入术后第 22 个月,表现为急性血栓事件,提示 LSD 发生是一缓慢过程。LSD 临床结局与其损伤程度有一定关系,并存在一定变异性,与不同支架平台构造桥接方式亦有一定关系^[6]。

发生 LSD 患者临床事件明显提高,主要是支架内血栓形成、再狭窄比例增加,导致临床不良后果^[1,7]。Mamas 等^[8]分析 2004 年至 2011 年医疗器械重大不良事件报告,共发现 57 例 LSD 患者(主要集中在 2010 年和 2011 年),90% 是基于 Element 平台的支架,病变多为复杂病变(钙化病变 26%,迂

曲病变 25%,长病变 28%,开口病变 21%),89%发生于器械通过或取出困难患者,其中 8 例出现包括需行紧急心脏外科手术和急性、亚急性支架内血栓形成在内的不良临床结果。Guler 等^[9]研究提示,LSD 患者以主干、分叉病变为主,同时超强支撑指引导管、后扩张球囊使用比例较一般病变明显增加,且多为复杂病变,但随着对 LSD 并发症逐渐认识,通过优化处理程序、及时发现并采取相关治疗措施,能明显改善该类患者临床预后。

目前对 LSD 发生原因仍不清楚。迄今研究认为主要与以下因素有关:①器械通过或取出已置放支架时发生困难,常见于后扩张球囊通过支架时,可能会对支架造成损伤,同样针对开口病变深插指引导管也可导致 LSD 发生。本病例首次支架植入后支架膨胀不良,但送入后扩张球囊困难,遂采用双导丝支撑技术使后扩张球囊通过支架内并完成后扩张。支架受到损伤可能发生形变,形变较小时 DSA 无法精确辨别,仍显示支架膨胀良好。支架金属丝变形、重叠、皱缩可造成部分血管病变区域无金属丝覆盖、支架长度缩短、部分支架金属丝突出于管腔,从而发生支架内再狭窄、血栓形成及心肌梗死等临床事件。②对于左主干、分叉病变,由于支架近段与远段直径悬殊,选择支架以远段血管直径为参考,近段支架贴壁不良时,球囊等器械通过时极易引起 LSD,同时近段会选用更大直径球囊进行优化处理,也可能损伤支架平

台并造成 LSD^[10-11]。另外,Finet 等^[12]观察到应用桡动脉途径和外径小指引导管更易导致指引导管挤压支架。支架本身材料因素、平台系统也与 LSD 有一定关系。李治国等^[13]在不考虑血管内斑块情况下构建冠状动脉支架系统有限元模型,比较不同平台系统冠状动脉支架、压握壳、球囊与血管间相互作用机制,结果显示镁合金、钴铬合金、不锈钢材料支架在轴向伸缩率、径向反弹率、扩张均匀性、综合生物力学性能方面均存在一定差异。

目前主要通过影像学方法如 CT^[14]、IVUS^[15]、光学相干层析成像(OCT)^[16]诊断 LSD, 可发现支架变形、金属丝重叠等改变。本例患者首次发生急性心肌梗死植入长支架后, 耐高压球囊通过支架腔困难, 采用双导丝技术通过后行后扩操作可能对支架骨架已造成轻度损伤, 正因为这种不能被 DSA 检查发现的支架骨架损伤足够轻, 临床未出现急性、亚急性、晚期支架内血栓临床症状, 但随后 22 个月右冠状动脉随心脏收缩舒张发生扭矩变化, 支架骨架损伤也随心脏搏动进一步加重, 此时 DSA 检查明显观察到支架金属丝变形, IVUS 检查发现支架金属丝重叠、覆盖不全、贴壁不良。支架贴壁不良致使内皮化延迟或不能内皮化, 是极晚期支架内血栓形成的重要原因之一^[17]。本病例出现了极晚期支架内血栓所致再次 ST 段抬高型心肌梗死, 经 IVUS 诊断为 LSD 后又在 IVUS 指导下对损伤支架进行充分处理, 并于支架重叠、覆盖不全及贴壁不良处植入新支架, 获得了较好的膨胀和贴壁。腔内影像学对 LSD 病变有较好的诊断和指导介入治疗价值, 对于表现为支架内再狭窄患者有必要进一步明确其原因, 针对不同病因采取不同的干预治疗策略, 减少临床事件发生^[18]。

[参考文献]

- [1] Buysschaert I, Ughi GJ, Adriaenssens T, et al. Very late stent thrombosis and longitudinal stent deformation[J]. Acta Cardiol, 2017, 72: 216-217.
- [2] Hanratty CG, Walsh SJ. Longitudinal compression:a “new” complication with modern coronary stent platforms: time to think beyond deliverability?[J]. EuroIntervention, 2011, 7: 872-877.
- [3] Rhee TM, Park KW, Lee JM, et al. Predictors and long-term clinical outcome of longitudinal stent deformation: insights from pooled analysis of Korean multicenter drug-eluting stent cohort [J]. Circ Cardiovasc Interv, 2017, 10: e005518.
- [4] Shannon J, Latib A, Takagi K, et al. Procedural trauma risks longitudinal shortening of the Promus Element™ stent platform [J]. Catheter Cardiovasc Interv, 2013, 81: 810-817.
- [5] Williams PD, Mamas MA, Morgan KP, et al. Longitudinal stent deformation: a retrospective analysis of frequency and mechanisms [J]. EuroIntervention, 2012, 8: 267-274.
- [6] Pan C, Han Y, Lu J. Structural design of vascular stents: a review [J]. Micromachines(Basel), 2021, 12: 770.
- [7] Si D, Tong Y, Yu B, et al. In-stent restenosis and longitudinal stent deformation:a case report[J]. BMC Cardiovasc Disord, 2020, 20: 24.
- [8] Mamas MA, Williams PD. Longitudinal stent deformation: insights on mechanisms, treatments and outcomes from the Food and Drug Administration Manufacturer and User Facility Device Experience database[J]. EuroIntervention, 2012, 8: 196-204.
- [9] Guler A, Guler Y, Acar E, et al. Clinical, angiographic and procedural characteristics of longitudinal stent deformation [J]. Int J Cardiovasc Imaging, 2016, 32: 1163-1170.
- [10] Vijayvergiya R, Sharma P, Gupta A, et al. Longitudinal stent deformation during coronary bifurcation stenting[J]. Cardiovasc Revasc Med, 2016, 17: 143-145.
- [11] Algohary M, Abdelmegid MAF. Longitudinal stent elongation or shortening after deployment in the coronary arteries: which is dominant?[J]. Egypt Heart J, 2021, 73: 46.
- [12] Finet G, Rioufol G. Coronary stent longitudinal deformation by compression: is this a new global stent failure, a specific failure of a particular stent design or simply an angiographic detection of an exceptional PCI complication? [J]. EuroIntervention, 2012, 8: 177-181.
- [13] 李治国, 冯海全. 不同材质冠脉支架耦合变形机制研究[J]. 稀有金属, 2018, 42:931-936.
- [14] Chung MS, Yang DH, Kim YH, et al. Stent fracture and longitudinal compression detected on coronary CT angiography in the first-and new-generation drug-eluting stents[J]. Int J Cardiovasc Imaging, 2016, 32: 637-646.
- [15] Si D, Yang H, Liu G, et al. Treatment of longitudinal stent compression under intravenous ultrasound guidance:a case report [J]. Medicine(Baltimore), 2017, 96: e9405.
- [16] Hernandez-Matamoros H, Gonzalvez-Garcia A, Moreno-Gomez R, et al. Longitudinal stent deformation: precise diagnosis with optical coherence tomography[J]. J Invasive Cardiol, 2019, 31: E395.
- [17] Finn AV, Joner M, Nakazawa G, et al. Pathological correlates of late drug-eluting stent thrombosis: strut coverage as a marker of endothelialization[J]. Circulation, 2007, 115: 2435-2441.
- [18] Choudhury TR, Al - Saigh S, Burley S, et al. Longitudinal deformation bench testing using a coronary artery model: a new standard? [J]. Open Heart, 2017, 4: e000537.

(收稿日期:2021-11-28)

(本文编辑:边 信)